

This map was compiled from data acquired in the Stewart River Area, Yukon during the second phase of an airborne geophysical survey (gamma ray spectrometry, magnetometer) carried out by Fugro under contract to the Geological Survey of Canada. Funding for the survey was provided by Natural Resources Canada's Targeted Geoscience Initiative. The Phase 2 survey was completed between July 13, 2001 and September 26, 2001, using an Aerospacelabs A43000 helicopter (registration C-GZTA).

Flight path was recovered using a post-flight differential Global Positioning System. A vertically mounted video camera was used for verification of the flight path. An average terrain elevation was 500 m with control lines from at 3.5 km intervals. Helicopter flight height was maintained at an average plane clearance of 119 m.

The gamma ray spectrometry data were recorded at a 1.0 second sample rate into 256 channel main and radon spectra using an Exploranium GR800 spectrometry system. The volume of NaI in the two detectors comprising the system were: main detector, 33.4%; radon detector, 8.4%. Counts from the main detector were recorded in five windows corresponding to Thorium (2410 - 2815 keV), uranium (1600 - 1800 keV), potassium (1370 - 1570 keV), total radioactivity (400 - 2815 keV) and cosmic radon (8000 to >8000 keV). Counts from the radon detector were recorded in the radon window (1600 - 1800 keV). The radon detection system was calibrated following methods outlined in AGSO 1996/00. After removal of the background, the data were corrected for spectrometry changes in temperature, pressure and departures from the 119 m planned survey elevation. The data were then converted to standard concentration units and ratios and interpolated to a 125 m square grid. The ternary image grid was created from the three concentration grids.

The aeromagnetic data were recorded at a 0.1 second sample rate using a 0.01 nT sensitivity split-beam cesium vapour magnetometer suspended 23 m below the helicopter. The control line and traverse line magnetic data were corrected for variations in the magnetic field using the ground station magnetometer data. After editing the survey data, the intersections of traverse and control lines were established and the differences in the magnetic values were computed and used to obtain the levelling network. Global Positioning System data were used to compute the International Geomagnetic Reference Field data circa 2001.7, which was subtracted from the total magnetic field data to produce the residual magnetic field. The resulting residual magnetic field values were interpolated to a 125 m square grid. The first vertical derivative of the magnetic field was computed from the grid of the residual magnetic field.

All gridded data are presented as colour interval maps combined with digital topographic files provided by Geomatics Canada.

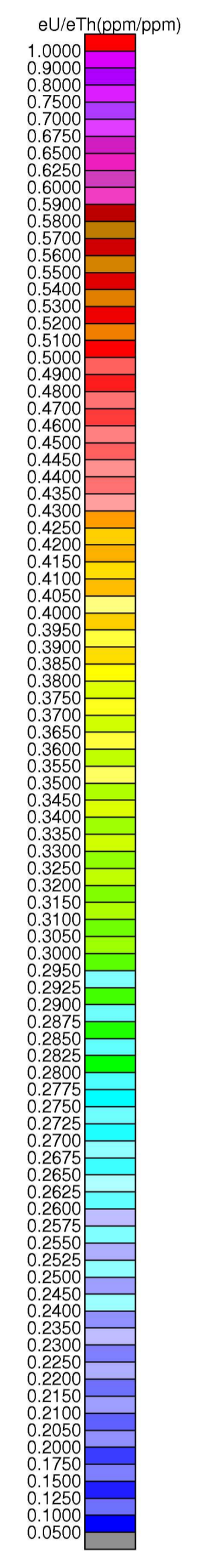
Cette carte a été compilée des données obtenues dans le région de Stewart River, Yukon, pendant la deuxième phase d'un levé géophysique aéroporté (spectrométrie des rayons gamma et aéromagnétique) effectué par Fugro sous un contrat à la Commission géologique du Canada. Le financement pour ce levé a été fourni par l'Initiative géoscientifique ciblée (IGCI) de Ressources Naturelles Canada. La deuxième phase d'opérations ont été exécutées du 13 juillet au 26 septembre, 2001, en utilisant un hélicoptère Aerospacelabs A43000 (immatriculé C-GZTA).

Le recouvrement des lignes de vol était fait à l'aide de résultats de système de positionnement global corrigées en mode différentiel après vol. Une caméra vidéo montée verticalement a été utilisée pour la vérification du plan de vol. L'espacement moyen des lignes de vol était de 350 m, recouvertes des lignes de contrôle espacées d'environ 3,5 km les unes des autres. L'hélicoptère a maintenu une altitude moyenne de 119 m au-dessus du sol.

Les données spectrométriques des rayons gamma ont été enregistrées selon un taux d'échantillonnage de 1,0 seconde dans les spectres d'un détecteur principal à 256 canaux et d'un détecteur de radon en utilisant un spectromètre Exploranium GR800. Les volumes de NaI dans les deux détecteurs composant le système étaient les suivants: 33,4 % pour le détecteur principal, 8,4 % pour le détecteur de radon. Les comptages du détecteur principal ont été enregistrés dans cinq fenêtres correspondant au thorium (2410 - 2815 keV), à l'uranium (1600 - 1800 keV), au potassium (1370 - 1570 keV), à la radioactivité totale (400 - 2815 keV) et au rayonnement cosmique (>8000 keV). Le comptage de détecteur de radon a été enregistré dans la fenêtre du radon (1600 - 1800 keV). Le système de détection du radon a été étalonné selon les méthodes décrites dans le AGSO 1996/00. Après élimination du bruit, les données ont été corrigées pour tenir compte des interférences spectrales, des changements de température, de la pression et des écarts par rapport à l'altitude prévue du levé (119 m). Les données ont été ensuite converties en unités de concentration habituelles et leurs rapports, puis interpolées sur un grille aux mailles carrées de 125 m de côté. Finalement, la grille de la première dérivée verticale du champ magnétique a été calculée à partir du champ magnétique résiduel.

Les données aéromagnétiques ont été enregistrées à une fréquence de 0,1 seconde en utilisant un magnétomètre à vapeur de césium d'une sensibilité de 0,01 nT suspendu à 23 m sous l'hélicoptère. Les données magnétiques des lignes de contrôle et des travées ont été corrigées pour les variations du champ géomagnétique en utilisant les données du magnétomètre au sol. Une fois les données au levé ont été vérifiées, les coordonnées des intersections des lignes de vol et des lignes de contrôle ont été établies et leurs différences des valeurs magnétiques ont été analysées par ordinateur pour obtenir le réseau nivellement. Les données de système de positionnement global ont été utilisées pour obtenir le champ géomagnétique international de référence calculé vers 2001,7. Les données ont été soustraites du champ total pour obtenir le champ magnétique résiduel. Les données du champ magnétique résiduel ont été interpolées à une grille aux mailles carrées de 125 m de côté. Finalement, la grille de la première dérivée verticale du champ magnétique a été calculée à partir du champ magnétique résiduel.

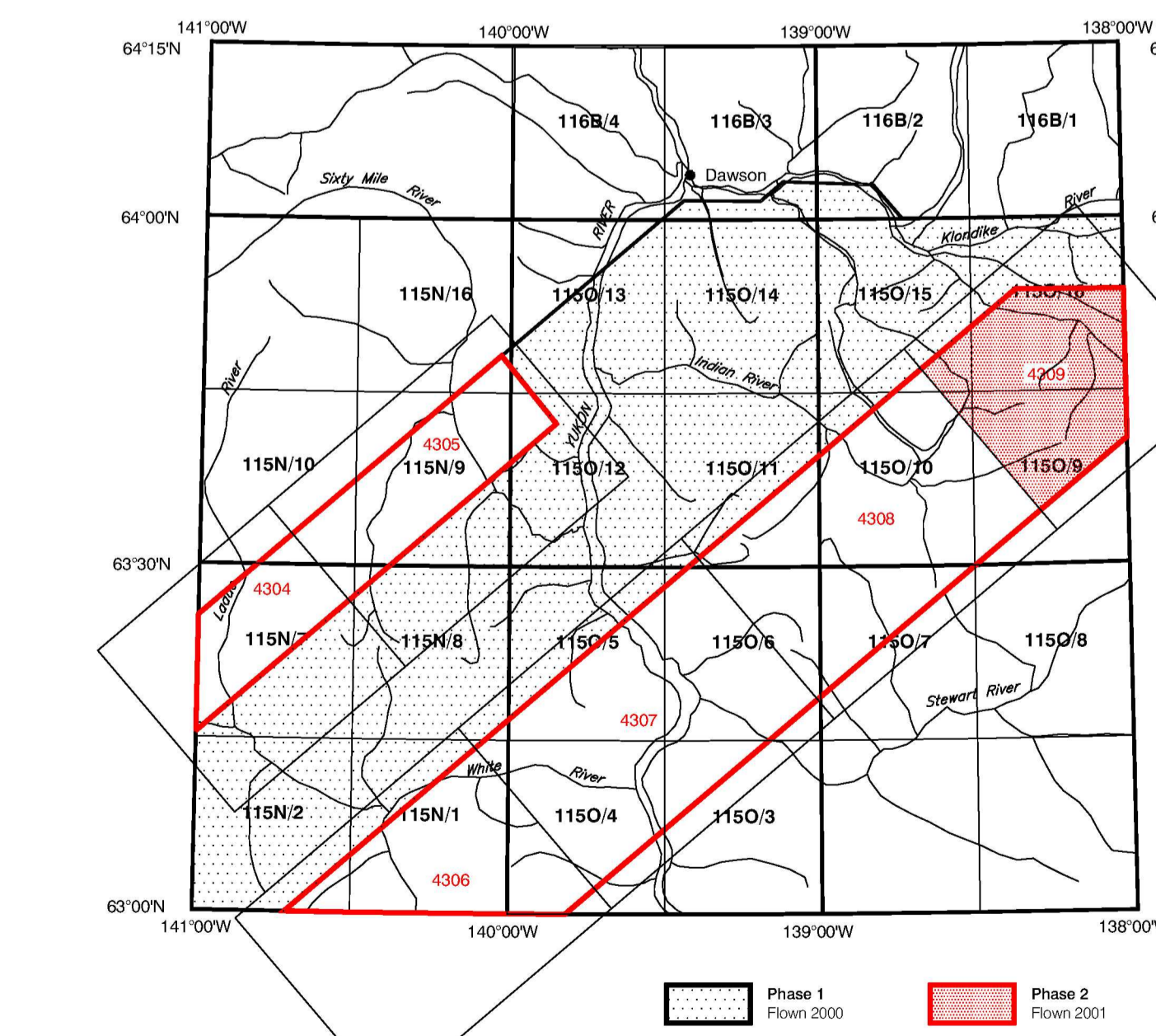
Tous les données ont présentées comme des cartes d'intervalles combinées avec les fichiers de topographie numériques fournis par Geomatics Canada.



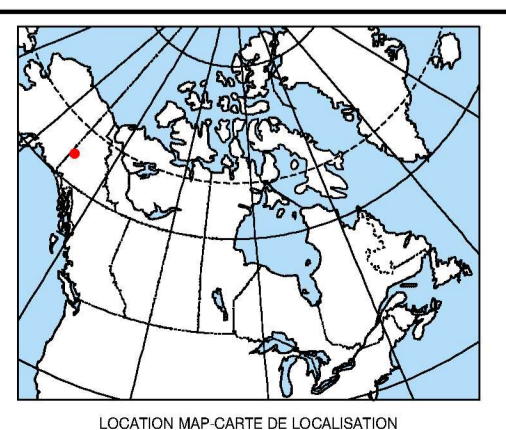
Flight lines, reduced / Lignes de vol, réduite

Recommended citation:  
Shaw, R.B.K., Carson, J.M., Frost, K.L., Holman, P.B., Gorday, S., Abbott, G., 2002  
Composés géophysiques de la carte de l'uranium / thorium  
Exploration and Development Services Division, Indian and Northern Affairs Canada Open File 2002-15,  
Carte de l'uranium / thorium (éU/éTh),  
Stewart River Area - 115O/16,  
Scale 1:50 000

National Géographique Commission:  
Shaw, R.B.K., Carson, J.M., Frost, K.L., Holman, P.B., Gorday, S., Abbott, G., 2002  
Composés géophysiques de la carte de l'uranium / thorium  
Affaires indiennes et du Nord Canada / Indian and Northern Affairs Canada Open File 2002-15,  
Carte de l'uranium / thorium (éU/éTh),  
Stewart River Area - 115O/16,  
Échelle 1:50 000



NATIONAL TOPOGRAPHICAL SYSTEM REFERENCE AND GEOGRAPHICAL MAP INDEX  
SYSTÈME NATIONAL DE RÉFÉRENCE CARTOGRAPHIQUE ET INDEX DES CARTES GÉOGRAPHIQUES

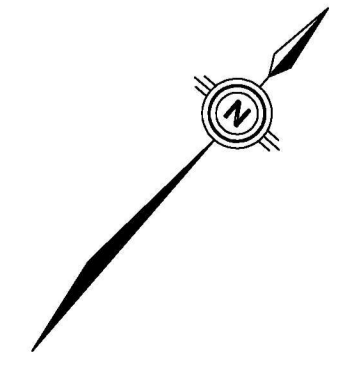


URANIUM / THORIUM MAP (eU/eTh)  
CARTE DE L'URANIUM / THORIUM (éU/éTh)

STEWART RIVER AREA  
YUKON TERRITORY / TERRITOIRE DU YUKON

Scale 1:50 000 - Échelle 1/50 000

Projetion cartographique de Mercator  
North American Datum of 1983  
© Droits de la Couronne réservés



OPEN FILE  
DOSSIER PUBLIC  
4309  
2002  
5 of / de 10

OPEN FILE  
DOSSIER PUBLIC  
2002-15  
2002

PUBLISHED 2002 / PUBLIÉE 2002

URANIUM / THORIUM MAP (eU/eTh)  
CARTE DE L'URANIUM / THORIUM (éU/éTh)

STEWART RIVER AREA  
YUKON TERRITORY / TERRITOIRE DU YUKON

115 O/16